

長崎大学工学部 正員 古本勝弘
長崎大学工学部 正員 武政剛弘

1. まえがき

塩水楔の挙動を調べる目的で行った山口県萩市の松本川における観測結果の概略を述べ、当河川の塩水楔に対し従来の解析法を用いる場合の問題について二、三の考察を行った。

2. 観測およびその結果

流域延長 82.2 km , 流域面積 638 km^2 をもつ阿武川はそのテルタに達する地図で、松本川と橋本川に分岐し日本海に注ぐ。観測の対象とした松本川河口部の平面図を Fig-1 に示す。姫倉運河は萩漁港との連絡水路であり淡水への流下はない。また、新堀川は市街地の排水路として機能しており降雨時以外には殆んど淡水への流下はない。Fig-1 に示した断面における平均水位以下での横断形状と概略の楔界面位置を Fig-2 に示す。河道形状の特徴は河口部狭窄が著しいこと、S-4 より上流に右岸よりに土砂の堆積が見られるることである。塩水楔の一次元解析を行う場合には流速の変化および上層流に対する河床抵抗も考慮する必要がある。

観測は昨年 7月 14, 15 日(大潮)と同 9月 6, 7 日(小潮)に実施された。両時期とも河川流量は安定しており $Q_0 = 20.6 \text{ m}^3/\text{sec}$ (7月14日), $20.7 \text{ m}^3/\text{sec}$ (9月6日) であった。河口部では水面はほぼ水平に升降するものと考え、Point 3 に量水標を設け水位変化を読み取る。潮位差は大潮時 70 cm , 小潮時 15 cm 程度であった。塩水楔の形状・運動を捕えるため、Fig-1 に示した 6 地点において電気伝導度の鉛直分布を測定し塩素濃度に換算した。この観測は一隻のボートで川を上下し上記 6 地点に順次停止し測定する方法を探った。同一地点の観測周期は 45~50 分、二地点間の観測時刻のズレは 5~7 分である。6 地点の同時刻における塩分分布を知るために、その前後の時刻の測定値から所定の時刻の濃度を内挿した。以下、塩水楔の動きについて大潮時の観測資料を中心に述べる。各地点の鉛直塩分分布の一例を Fig-3 に示す。Point 6 を除けば躍層厚は $40\sim50 \text{ cm}$ であり界面は極めて明瞭である。Point 5 では下層に全く稀釈されていない海水の侵入がある。Point 6 の分布が特異であるが、これは 1.25 km 地点の浅瀬を潮位が高い時に塩水が越流する形で侵入するためと考えられ、越流塩水そのものが高濃度でないこと、潮流時の混合により図のような分布が形成された、滞留しているものであろう。

上下層の境界を塩素濃度 10% の位置とし、縦方向の界面形状の一例を Fig-4 に示す。また、各地点の界面位の時間的変化を Fig-5 に示す。両図によると、水表面の変化が 70 cm 程度であるのにに対し、界面位の変動は 100 cm 程度とかなり大きい。また、各地点の界面の升降には時間的ズレが若干見受けられる。海に近い Point-1 の界面は潮汐波より少し早く昇降する。つまり最満潮位に到る以前に界面は低下し始め、最低水位に到る以前に上昇を始める。この傾向は上流地図ほど遅れるようである。界面勾配は上げ潮時に大きく、

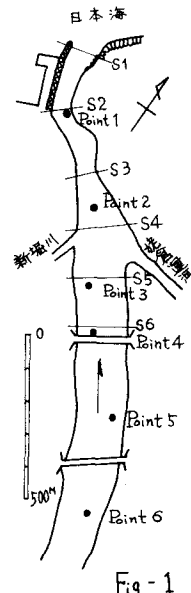


Fig-1

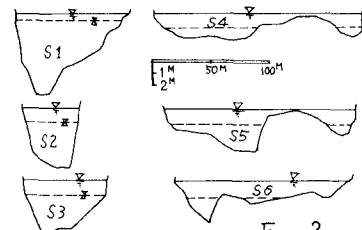
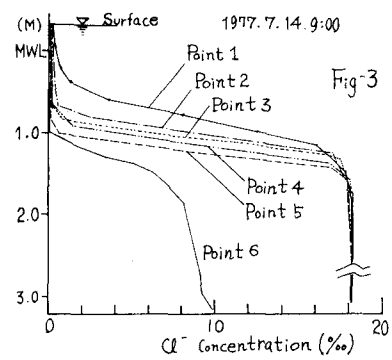


Fig-2



下り潮で小さく、部分的に逆勾配が現われた。550mより上流の下層塩水の潮汐による進退には河床抵抗、下層水路の狭まりが大きく影響するため、界面変動の位相差となって現われるのであろう。

Fig-4には小潮時に観測された界面形状を破線で記入している。小潮時の界面変動は同図に示された破線の上下10cmの範囲内であって塩水楔の動きは非常に小さいことが認められた。

3. 定常塩水楔に関する計算

松本川の小潮時の塩水楔は河川流量が一定であれば殆ど静止していると考えてよい。定常塩水楔の形状に影響する要素の中で、松本川の場合、Fig-1, 2から推察できるように流れ方向の流積の変化と上層流の河床での抵抗は無視できない。中村¹⁾はそれらの影響を評価した式を誘導し実河川に適用した。²⁾ではそれとは少し異なった方法を用いて試算してみた。

静止塩水楔に対する平均流の運動方程式は、流れを一次元軸対称とすると上下層について²⁾

$$d(\beta_i U_i^2 / g) / dx + dH_i / dx + I_1 + I_2 = 0 \quad \dots(1) \quad d[(1-\varepsilon) H_i + \varepsilon H_{i+1}] / dx + I_3 = 0 \quad \dots(2)$$

ここで、 $\varepsilon = (P_2 - P_1) / P_2$, $I_1 = T_b B_i / \rho g A_1$, $I_2 = T_b (T_s - T_i) / \rho g A_1$, $I_3 = -T_b B_i / \rho g A_2$, 座標軸は水平下流向きにx、鉛直上向きにz, H_i, H_{i+1} ; 水表面、界面のz座標, B, T ; 添字*i*で示す高さの水路幅、渦辺長, 添字*s, i*; 水面、界面の位置を表示。二層流の理論展開には従属変数として一般に上下層厚が用いられるが、²⁾では H, H_i を用いた。これは河川測量図から作図されるZへA, B, T曲線を読みながら計算を進めるのに便利である。 $A_1 = \int_{H_i}^{H_s} B dz$ であるから $d(\beta_i U_i^2 / g) / dz = (-\beta_i Q_i^2 / g A_i^3) [B_i (dH_i / dz) - B_i (dH_{i+1} / dz) + \int_{H_i}^{H_s} (dB / dz) dz]$ において、(1), (2)式を $(dH / dz) (dH_{i+1} / dz)$ で解くと。

$$dH / dz = [-I_1 - I_2 + I_3 (B_i / B_{i+1}) F_{ii}^2 + I_4] / \text{重} \quad \dots(3), \quad dH_{i+1} / dz = [(I_1 + I_2 - I_3) / \varepsilon - (I_1 + I_2 - I_3 F_{ii}^2 - I_4)] / \text{重} \quad \dots(4)$$

ここで、 $I_4 = (\beta_i Q_i^2 / g A_i^3) \int_{H_i}^{H_s} (dB / dz) dz$, $F_{ii}^2 = \beta_i (Q_i / A_i)^2 / (\varepsilon g A_i / B_i)$, 重 = $1 - [\varepsilon + (1-\varepsilon)(B_i / B_{i+1})] F_{ii}^2$ ¹⁾
Q, および T_i, T_{i+1} の算定式が与えられるならば(3)(4)式右辺は H, H_i の商数となるため、この H, H_i に関する連立常微分方程式を数值的に解いて楔の形状を得る。境界条件は河口で与えられる。河口では流積が急激に変化するため限界流となり、 $dH / dx, dH_i / dx$ が非常に大きな値をもつ。すなわち重 = 0 かつ河口で成立する。この条件式の妥当性は中村¹⁾により神通川河口での実測から確認されている。 H, H_i を求める計算は河口において潮位から H 、河口条件式から H_i を決め、(3)(4)式を用いて逐次上流に向って進められる。ただし、河口では理論的には(3)(4)式が ∞ となり、 Δx 上流の H, H_i を求める計算にこの式は用い得ず、(1)(2)式を階差式にして、その式の等号が成立立つよう²⁾に H, H_i を試行錯誤により探しかねばならない。これより上流については(3)(4)式は有限な値をもつので Euler-Gauss の予測子修正子法を用いて H, H_i を計算できる。松本川の小潮時の塩水楔に対する計算は次の式と値を用いて行い、結果を Fig-4 に示している。 $\varepsilon = 0.026$, $T_b = \rho k U_i^2$, $T_b = \rho_i (g n^2 / R_i^3) U_i^2$, マンゲ粗度係数 $n = 0.025$, $\beta_i = 1.0$ 界面抵抗係数 k については、実測の界面形状を(4)式に用いて逆算したところ金子³⁾提案による式 $k = 0.1 \text{ 重}^{-0.5}$ に近い値であったのでこの式を用いた。 $\text{重} = F_{ii}^2 R_i$ である。実測から逆算された松本川の($k, \text{重}$)の値は $(5.8 \times 10^{-4}, 5.0 \times 10^{-4}), (4.7 \times 10^{-4}, 4.9 \times 10^{-4}), (2.6 \times 10^{-4}, 5.0 \times 10^{-4})$ 等であった。実河川でのこの様な計算では、水路中の急変により生じる死水域、上層流の受けた界面と河床の抵抗の差による分布流速を平均流速で全て置き換える。この影響は抵抗係数 k の評価につながる問題であり検討が必要があろう。

参考文献 1) 中村阿部; 潮流技術報告 No.66074 2) 古本; 52年度西部5部 p223, 3) 金子; 第3回海岸工学講 p263

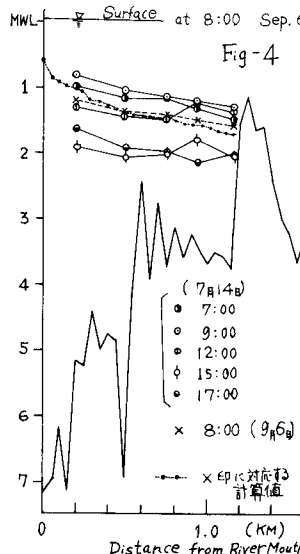


Fig-4

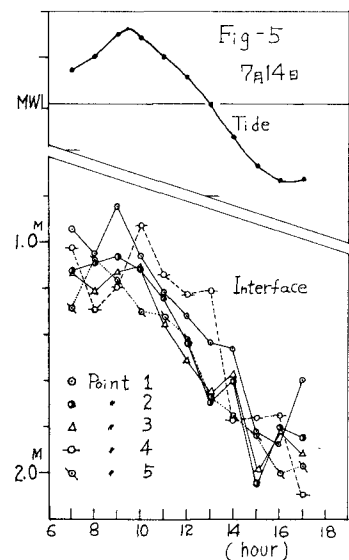


Fig-5

7月14日